



## تجزیه پایداری و گزینش ژنتیپ‌های متحمل شوری جو

مجید طاهریان<sup>۱</sup>، محمدرضا بی همتا<sup>۲</sup>، سید علی پیغمبری<sup>۳</sup>، هوشنگ علیزاده<sup>۴</sup> و عبدالرحمن رسول‌نیا<sup>۵</sup>

۱- استادیار، بخش تحقیقات علوم زراعی-باغی، مرکز تحقیقات و آموزش کشاورزی و منابع طبیعی استان خراسان رضوی، سازمان تحقیقات، آموزش و ترویج کشاورزی، (نویسنده مسؤول: Taherian.m@ut.ac.ir)

۲، ۳، ۴ و ۵- به ترتیب استاد ژنتیک و اصلاح نباتات، استاد اصلاح نباتات و استادیار بیوتکنولوژی، پردیس کشاورزی و منابع طبیعی دانشگاه تهران، کرج

تاریخ دریافت: ۹۶/۳/۱۱ تاریخ پذیرش: ۹۷/۳/۲۱

صفحه: ۹۳ تا ۱۰۳

### چکیده

هدف از این تحقیق تجزیه آثار متقابل ژنتیپ و محیط روی عملکرد دانه لاین‌ها و ارقام جو، شناسایی ژنتیپ‌های متحمل شوری با عملکرد پایدار و نیز ارزیابی ژنتیپ‌ها، محیط‌ها و آثار متقابل آنها با استفاده از آماره‌های پایداری مختلف بود. این پژوهش به صورت دو آزمایش جداگانه یکی تحت تنش شوری و دیگری بدون تنش، طی دو سال زراعی ۱۳۹۲-۹۴ در مزرعه ایستگاه تحقیقات کشاورزی و منابع طبیعی نیشابور اجرا شد. هر آزمایش شامل ۱۷ رقم و لاین امیدبخش جو بود که در قالب طرح بلوک‌های کامل تصادفی در سه تکرار اجرا شد. بر اساس پارامترهای پایداری روش رگرسیونی ابرهارت و راسل ارقام فجر ۳۰، نیک و لاین امیدبخش ۴-۵ MBS82-۴ و اجد سازگاری مطلوب بودند. با استفاده از روش گزینش همزمان عملکرد و پایداری به ترتیب ارقام فجر ۳۰، MBS87-۱۲، MBS82-۵، MBS87-۱۲، MBS87-۱۲ ترتیب ارقام فجر ۳۰، نیک، والفرج و نیک گزینش شدند. نتایج حاصل از تجزیه امی روی عملکرد دانه نشان داد که اثرات اصلی ژنتیپ، محیط، اثرات متقابل آنها و دو مؤلفه اول اثر متقابل معنی‌دار بودند. نمودار بای‌بلاط امی قادر به تفکیک ژنتیپ‌های پایدار و محیط‌های با قدرت تفکیک بالا از محیط‌های ضعیف بود. برای محیط شور ژنتیپ‌های فجر ۳۰ و MBS87-۱۲ در هر دو سال زراعی بهترین ژنتیپ‌ها با سازگاری ویژه بودند.

**واژه‌های کلیدی:** آثار متقابل ژنتیپ × محیط، سازگاری، جو، عملکرد

برای تجزیه اثر متقابل ژنتیپ-محیط ارائه شده است. استفاده از روش مبتنی بر رگرسیون (۷،۹)، در زمرة اولین روش‌های مورد استفاده است. سایر روش‌های آماری از جمله روش AMMI<sup>۱</sup> (۱۰) و مدل SREG<sup>۲</sup> یا GGE biplot<sup>۳</sup> یا نیز زیاد مورد استفاده قرار گرفته‌اند، ضمن این که برای تعیین مدل پایداری، معیارهای ناپایداری هان (۱۱) که مبنی بر تغییر مرتبه ارقام می‌باشد و روش مجموع رتبه کنگ (۱۳،۱۷) که از جمله روش‌های ناپارامتری هستند می‌توانند معیارهای معتبری برای انتخاب ژنتیپ‌های برتر باشند. یک روش تجزیه رگرسیونی دیگر توسط تای (۳۱) ارائه شد که بر مبنای امید ریاضی میانگین مربعات منابع تغییرات جدول تجزیه واریانس می‌باشد. در این روش بررسی عملکرد ژنتیپ‌ها در محیط‌های مختلف از طریق اثرهای ژنتیپی انجام می‌شود ولی در روش رگرسیون فینلی و ویلکینسون (۹) و ابرهارت و راسل (۱۲) از اثرهای فنتوپی استفاده گردیده است. به عبارت دیگر، روش رگرسیون تای (۳۱) همان روش رگرسیونی ابرهارت و راسل است با این تفاوت که از یک وزنی که بر مبنای امید ریاضی داده‌است پارامترهای رگرسیونی ابرهارت و راسل تصحیح شده و پارامترهای رگرسیونی تای محاسبه می‌شوند. دو پارامتر  $\alpha$  و  $\beta$  در رگرسیون تای اهمیت زیادی در توجیه اثر متقابل ژنتیپ-محیط دارند که  $\alpha$  ضریب رگرسیون و  $\beta$  انحراف از خط رگرسیون می‌باشد. مقدار بهینه  $\alpha$  برابر با  $-1$  و متوسط آن صفر و مقدار بهینه  $\beta$  برابر با  $1$  می‌باشد. به عبارت دیگر، چنانچه ژنتیپی دارای ضریب رگرسیون  $-1$  و انحراف از رگرسیون  $1$  باشد، پایداری آن ژنتیپ کامل می‌باشد. همچنین اگر ژنتیپی ضریب رگرسیون صفر و انحراف از رگرسیون  $1$  داشته باشد، پایداری متوسطی خواهد داشت. علاوه بر آن در روش رگرسیونی تای یک نمودار هذلولی

### مقدمه

جو (Hordeum vulgare L.) یکی از مهم‌ترین غلات می‌باشد که بعد از گندم بیشترین سطح زیر کشت را در ایران به خود اختصاص داده است. این محصول دارای دائمه انتشار و سازش اقلیمی وسیعی بوده به طوری که گسترده‌ترین دائمه کشت در این گیاه دیده می‌شود (۳). شوری منابع آب و خاک یکی از اساسی‌ترین مشکلات کشاورزی به ویژه در مناطق خشک و نیمه خشک است و پس از خشکی از مهم‌ترین و متدالوئرین تنش‌های محیطی در سطح جهان و از جمله ایران است (۱۸). هر دو تنش شوری و خشکی، آب قابل دسترس برای گیاهان را کاهش می‌دهند و آنها روی پروسه‌های مختلفی که عملکرد را در گونه‌های مختلف تعیین می‌کند، اثر مشابهی دارند (۱۸). برای استفاده از اراضی شور و همچنین کشت محصولات در مناطق خشک، بهترین راه استفاده از گونه‌ها و ارقام متحمل می‌باشد. به همین دلیل لزوم به کارگیری معیارهای مناسب برای گزینش ژنتیپ‌ها ضروری است (۲۲). معرفی لاین‌هایی با عملکرد بالا و پایدار برای مناطق مختلف با شرایط آب و هوایی متنوع یکی از راه‌های افزایش تولید جو است (۲۲).

وجود آثار متقابل ژنتیپ و محیط مهم‌ترین چالش فارروی بهتردادگران گیاهی است. تفسیر آثار متقابل، شناسایی محیط‌های هدف و معرفی ژنتیپ‌های مناسب با سازگاری خصوصی و عمومی برای محیط‌های مورد مطالعه و تعیین ژنتیپ‌های پایدار در سال‌های مختلف از اهداف مهم در بررسی ژنتیپ‌ها در سال‌ها و محیط‌های مختلف می‌باشد. پدیده اثر متقابل ژنتیپ-محیط به بهتردادگران گیاه کمک می‌کند تا در ارزیابی ژنتیپ‌ها در محیط‌های مختلف، مکان‌های غیرضروری را حذف نموده و در نتیجه موجب کاهش بیشتر هزینه‌ها شوند (۲۴، ۲۵، ۲۶). پارامترهای زیادی

اکووالانس ریک، واریانس پایداری شوکلا، ضریب رگرسیون خطی و چند پارامتر پایداری دیگر استفاده نمودند. آن‌ها در مجموع با در نظر گرفتن تمام روش‌های تجزیه پایداری، یک ژنتیپ را به عنوان پایدارترین ژنتیپ گزارش نمودند. آلبرت (۲) در بررسی اثر متقابل ژنتیپ × محیط و برای تعیین پایداری هیبریدهای ذرت روش‌های مختلف پایداری را با هم مقایسه کرد ولی در نهایت مدل امی را مناسب‌ترین روش برای تجزیه پایداری معرفی کرد. شومن (۲۵) برای بررسی اثر متقابل ژنتیپ × محیط در آفتابگردان از روش‌های مختلف پایداری استفاده نمود و بیان داشت که مدل امی نه تنها پایدارترین ژنتیپ‌ها را معرفی می‌کند، بلکه می‌تواند بیانگر سازگاری خصوصی ارقام نیز باشد.

بنابراین هدف از این پژوهش: تجزیه آثار متقابل ژنتیپ × محیط و بررسی واکنش ژنتیپ‌ها در محیط‌های مختلف و انتخاب ژنتیپ جو پایدار به محیط‌های مورد مطالعه با استفاده از روش‌های تجزیه پایداری چند متغیره و تک متغیره می‌باشد.

## مواد و روش‌ها

این تحقیق به صورت دو آزمایش جداگانه یکی تحت نتش شوری و دیگری بدون نتش، طی دو سال زراعی ۱۳۹۲-۹۴ در مزرعه ایستگاه تحقیقات کشاورزی و منابع طبیعی نیشابور (طول جغرافیایی ۴۶° و ۵۸° شرقی، عرض جغرافیایی ۱۴° و ۳۶° شمالی و ارتفاع ۱۳۲۰ متر از سطح دریا) اجرا شد. هر آزمایش شامل ۱۷ رقم و لاین امیدبخش جو بود که در قالب طرح بلوک‌های کامل تصادفی در سه تکرار اجرا شد. مشخصات ارقام در جدول ۱ آورده شده است. هر کرت شامل ۶ خط با فواصل ۲۰ سانتی‌متر و طول ۲ متر بود. هدایت الکتریکی آب آبیاری در شرایط نرمال حدود  $0.7 \text{ dsm}^{-1}$  و در شرایط شور حدود  $11-12 \text{ dsm}^{-1}$  بود که از طریق حل کردن نمک NaCl در آب، این میزان EC حاصل شد. در آزمایش تنش شوری بعد از هر آبیاری عصاره اشباع خاک تهیه شده و EC آن اندازه‌گیری می‌شد تا EC خاک کنترل گردد. مشخصات خاک محل آزمایش در جدول ۲ آورده شده است. تراکم بذر، ۳۵۰ دانه در متر مربع برای هر دو آزمایش در نظر گرفته شد. کود استفاده شده قبل از کشت شامل ۱۰۰ کیلوگرم در هکتار فسفات آمونیوم و ۵۰ کیلوگرم در هکتار نیترات آمونیوم و در مرحله پنج‌هزاری ۲۵ کیلوگرم در هکتار نیترات آمونیوم بود.

را دارد. ریک (۳۲) پیشنهاد کرد که از اثر متقابل ژنتیپ و محیط برای هر ژنتیپ به عنوان پارامتر پایداری استفاده شود؛ به طوری که این اثر برای هر ژنتیپ محدود شده و در همه محیط‌ها جمع شود. این پارامتر پایداری با نام اکووالانس ریک ( $W_i$ )، مستقیماً به اثر متقابل ژنتیپ و محیط مربوط شده و به منظور تعیین سهم هر ژنتیپ در مجموع مربوعات اثر متقابل ژنتیپ در محیط محاسبه می‌گردد. محققین چندین روش برای بررسی همزمان عملکرد و پایداری ارائه کردند (۱۴، ۱۳، ۱۳). کانگ (۱۳) روش گزینش همزمان برای عملکرد و پایداری را براساس واریانس پایداری شوکلا ارائه و مورد استفاده قرار داد. این روش تلفیق پایداری با عملکرد برای گزینش ژنتیپ‌های پایدار با عملکرد بالا است و هر دو صفت عملکرد و پایداری توانماً در نظر گرفته می‌شوند تا اثر ژنتیپ و محیط کاهاش یافته و گزینش‌ها دقیق‌تر و قابل ارزیابی شوند. در این روش وزنهای برابری برای عملکرد و پایداری در نظر گرفته می‌شود. همچنین در این روش قابلیت تعیین مقادیر اشتیاه نوع اول و دوم برای جزء عملکرد و جزء پایداری وجود دارد. کانگ (۱۳) آماره جدید را به عنوان آماره عملکرد- پایداری (YSI) نام‌گذاری نمود. روش امی، یک روش چند متغیره آماری می‌باشد که آثار جمع پذیر ژنتیپ، محیط و آثار ضرب پذیر ژنتیپ × محیط را توجیه نموده و تفسیر خوبی از اثر متقابل ژنتیپ × محیط ارائه می‌نماید (۶). اگر از جزء جمع پذیر مدل، بدون در نظر گرفتن اثر متقابل برای توجیه واریانس آزمایش‌ها استفاده شود، مدل مذکور را امی صفر و اگر از جزء ضرب پذیر امی که اثر متقابل را نیز در نظر می‌گیرد استفاده شود بسته به این که از کدام مؤلفه استفاده شود، مدل امی F نامیده می‌شود (۱۰). مؤلفه‌های امی، معیار معتبری برای بررسی پایداری ژنتیپ‌ها و ارتباط بین ژنتیپ‌ها و محیط می‌باشند. اگر چندین مؤلفه از مؤلفه‌های اثر متقابل در مدل امی از لحاظ آماری معنی‌دار باشند، نشان دهنده وجود اثر متقابل پیچیده ژنتیپ × محیط می‌باشد (۱۰). با استفاده از مدل امی، یک پارامتر پایداری معتبر توسط پرکاس (Purchase, 1997) برای پایداری ژنتیپ‌ها ارائه شد که آن را ارزش پایداری امی<sup>۱</sup> (ASV) می‌نامند و در آن از دو مؤلفه اول امی برای این روش استفاده می‌گردد. همچنین از اکووالانس ریک به منظور تعیین سهم محیط‌ها در اثر متقابل می‌توان استفاده نمود (۱۲).

شاه‌محمدی و همکاران (۳۷) به منظور تعیین پایداری عملکرد نوزده ژنتیپ پیشرفت‌های جو در مناطق سردسیر کشور، از پارامترهای پایداری واریانس محیطی، ضریب تغییرات محیطی،

## جدول ۱- نام و شجره ارقام و لاین‌های امیدبخش جو مورد بررسی

Table 1. Name and pedigree of cultivars and promising lines of barley

واکنش به تنفس	شجره	ژنوتیپ	شماره
متحمل خشکی	Rihane	ریحان	۱
	Rihane03	ریحان۰۳	۲
متتحمل شوری	Chah Afzal	افضل	۳
	Liggee131/Gerbel//Alger×Jonoob	فجر۳۰	۴
متتحمل خشکی	Arivat	کویر	۵
متتحمل شوری	LB.Iran/una8271//Gloria's"/Come's"/3/Kavir	MBS82-4	۶
متتحمل شوری	73-M4-70	MBS82-5	۷
متتحمل شوری	Roho/Mazorka//Trompi	MBS87-12	۸
متتحمل شوری	Afzal/Liggee527	MBS87-15	۹
متتحمل شوری	CWB117-5-9-5/Rojo2	MBS87-19	۱۰
	CI-108985	والفجر	۱۱
	CWB111-5-905	بهمن	۱۲
متتحمل خشکی	Liggee 527/Chn-01//Gustoe/4/Rhn-08/3/DeirAlla 106//DI71/Strain 205	یوسف	۱۳
	Star	ماکویی	۱۴
	Liggee527/NK1272//JLB70-63	نیک	۱۵
	Karoon/Kavir	نصرت	۱۶
حساس به شوری	Liggee 527	L527	۱۷

## جدول ۲- مشخصات خاک محل اجرای آزمایش

Table 2. Soil properties of experiment site

سال	اسیدیته	هدایت الکتریکی (ds/m)	رس	سیلت	شن	کربناتی (%)	نیتروژن (%)	فسفر (ppm)	پتاسیم (ppm)
۲۰۱۳-۱۴	۷/۶	۰/۶۸	۲۴	۵۶	۲۰	۰/۳۳	۰/۰۸	۱۰	۳۵۷

ژنوتیپ‌ها و محیط‌ها در پدیده اثر متقابل ابزارهای مفیدی جهت شناسایی ژنوتیپ‌های سازگار به محیط می‌باشند (۳۰). به منظور تحلیل بهتر آثار متقابل از آماره‌های پایداری امی (ASV) (۲۴) و اکووالانس ریک (W<sup>2</sup>i) (۳۲) استفاده گردید. آماره ASV به دلیل این که آثار دو مؤلفه اول اثر متقابل را به طور هم زمان مورد بررسی قرار می‌دهد نقش مهمی در تفسیر نتایج تجزیه امی دارد. ژنوتیپ‌ها و محیط‌ها با مقادیر کم پارامتر ASV پایدار و با مقادیر بیشتر ناپایدار خواهند بود (۲۴). پارامتر پایداری اکووالانس ریک (W<sup>2</sup>i) که کمتر بودن آن برای ژنوتیپ‌ها و محیط‌ها نشان‌دهنده پایداری بیشتر آنها و سهم کمتر در اثر متقابل می‌باشد جهت کمک در تفسیر نتایج مورد استفاده قرار گرفت. جهت تجزیه پایداری روش‌های تک متغیره از برنامه‌های SAS و EXCEL و جهت تجزیه امی از نرم‌افزار GenStat استفاده شد.

## نتایج و بحث

به منظور بررسی لاین‌های امیدبخش و ارقام جو در محیط‌ها و سال‌های مختلف تجزیه واریانس مرکب عملکرد حاصل از دو محیط و دو سال انجام شد. نتایج به دست آمده از تجزیه مرکب نشان داد که اثر سال، محیط، اثر متقابل محیط × سال، ژنوتیپ × محیط، ژنوتیپ × سال، اثر ژنوتیپ و اثر متقابل ژنوتیپ × محیط × سال در سطح احتمال یک درصد معنی‌دار بود (جدول

مقایسه میانگین عملکرد دانه به روش آزمون چند دامنه‌ای دانکن (DMRT) در سطح احتمال ۰/۰۵=۰/۰۵ انجام گرفت. قبل از تجزیه پایداری، یکنواختی واریانس خطاهای آزمایش با استفاده از آزمون لون<sup>۲</sup> بررسی گردید و سپس تجزیه پایداری روی عملکرد دانه ژنوتیپ‌ها در محیط‌های مختلف انجام شد. آماره‌های پایداری تک متغیره شامل واریانس پایداری شوکلا (R<sub>1</sub><sup>2</sup>)، ضریب رگرسیون فیلی و ویلکینسون (b<sub>1</sub>)، میانگین مربعات انحراف از خط رگرسیون ابرهارت و راسل (S<sup>2</sup>d<sub>1</sub>)، ضریب تبیین پیتوس (R<sub>2</sub><sup>2</sup>) و پارامترهای پایداری تای (α<sub>1</sub> و α<sub>2</sub>) بودند. همچنین روش رتبه‌بندی همزمان عملکرد و پایداری تحت عنوان آماره عملکرد پایداری کنگ (YS<sub>1</sub>) برای ژنوتیپ‌های مورد بررسی محاسبه گردید. نحوه محاسبه آماره‌های فوق غیر از آماره عملکرد پایداری (YS<sub>1</sub>) در مقاله لین و همکاران (۱۹۸۶) ذکر شده است. همچنین نحوه محاسبه آماره عملکرد-پایداری (YS<sub>1</sub>) در مقاله کانگ (۱۳) شرح داده شده است.

به منظور تجزیه پایداری عملکرد دانه ژنوتیپ‌ها و ارقام مورد بررسی از روش چند متغیره مدل امی و از مؤلفه‌های اثر متقابل اول و دوم امی (IPCA<sub>1</sub>, IPCA<sub>2</sub>) به عنوان پارامترهای پایداری برای ژنوتیپ‌ها و محیط‌ها استفاده گردید (۲). همچنین از مدل بای‌پلات امی جهت بررسی واکنش ژنوتیپ‌ها در محیط‌ها استفاده شد. بای‌پلات‌ها به دلیل نمایش گرافیکی واکنش

به تنهایی کافی نمی‌باشد. آزمایشات شاه محمدی (۲۷) نیز حاکی از وجود اثر متقابل معنی‌دار سال × ژنتیپ × مکان برای ژنتیپ‌های جو بوده است. در آزمایش‌های دارای محیط و سال یکی از مشکلات اساسی ارزیابی ژنتیپ‌ها این است که اثر محیط می‌تواند به طور قابل ملاحظه‌ای از سالی به سال دیگر متغیر باشد و این عمل به وسیله معنی‌دار شدن اثر متقابل محیط × سال در جدول تجزیه واریانس مشخص می‌شود. مقایسه میانگین مرکب ژنتیپ‌ها در دو محیط و دو سال نشان داد که لاین ۵-۵ MBS82-12 و بعد از آن رقم فجر ۳۰ به همراه لاین MBS87-12 بیشترین عملکرد را دارا بودند. قبل از هر گونه انتخاب و توصیه لازم بود میزان پایداری عملکرد ژنتیپ‌ها با استفاده از روش‌های تجزیه پایداری مشخص شود تا ژنتیپ‌های با عملکرد بالا و پایدار شناسایی شوند.

۳). معنی‌دار بودن اثر سال و محیط نشان‌دهنده اختلاف شرایط محیطی در سال‌ها و محیط‌های مورد آزمایش بوده و معنی‌دار بودن اثر ژنتیپ نشان‌دهنده اختلاف ژنتیکی بین ارقام و لاین‌های مورد بررسی است. در تجزیه واریانس مرکب با توجه به معنی‌دار بودن اثر متقابل ژنتیپ × محیط × سال، می‌توان استنباط کرد که ژنتیپ‌ها در محیط‌ها و سال‌های مختلف دارای تغییراتی بوده و برای بررسی دقیق تر اثر متقابل و پیدا کردن ژنتیپ‌های دارای عملکرد پایدار در شرایط محیطی مختلف باید تجزیه پایداری ژنتیپ‌ها در شرایط محیط‌های مورد بررسی انجام شود. در مطالعات کانگ و همکاران (۱۶) بر روی پنج ژنتیپ ذرت، اثر متقابل ژنتیپ × محیط در تمام آزمایش‌ها معنی‌دار بود. آنها خاطر نشان کردند زمانی که اثر متقابل ژنتیپ × محیط معنی‌دار است انتخاب بر اساس عملکرد

جدول ۳- تجزیه واریانس مرکب دو ساله عملکرد در دو محیط آزمایش

Table 3. Combined variance analysis of yield in two years and two environment

منابع تغییرات	درجه آزادی	عملکرد دانه (تن در هکتار)	میانگین مرباعات
سال	۱	۵۱/۴۰*	
محیط	۱	۱۳۱/۹۰*	
محیط × سال	۱	۱/۲۲۰*	
تکرار / (محیط × سال)	۸	.۰/۲۲۵	
ژنتیپ	۱۶	۳/۶۳**	
ژنتیپ × محیط	۱۶	.۰/۹۹۴**	
ژنتیپ × سال	۱۶	۳/۴۵**	
ژنتیپ × محیط × سال	۱۶	۱/۱۰۳**	
خطا	۱۲۸	۰/۲۵۶	

اندازه‌گیری است. متوسط مربعات انحراف یا انحرافات از رگرسیون میانگین ژنتیپ‌ها بر روی شاخص محیطی ( $S^2_{di}$ ) سهم هر ژنتیپ در اثر متقابل ژنتیپ × محیط را توضیح می‌دهد (جدول ۵). بر اساس پارامتر نوع سوم ( $S^2_{di}$ ) اگر ژنتیپی دارای انحراف از خط رگرسیون صفر یا حداقل باشد آن رقم پایدار است. بر این اساس ارقام فجر ۳۰، MBS82-4، MBS87-19، MBS87-15، MBS87-15، والفجر و نیک، انحراف از رگرسیون غیرمعنی‌دار داشتند. از بین ژنتیپ‌های مذکور، ارقام فجر ۳۰، نیک و لاین امیدبخش MBS82-4 با داشتن ضریب رگرسیون معادل یک و ضریب تبیین بسیار بالا، واحد سازگاری مطلوب بودند. سایر ارقام و لاین‌های امیدبخش مورد بررسی، دارای واریانس انحراف از خط رگرسیون معنی‌دار بودند یعنی تغییرات عملکرد این ژنتیپ‌ها در طول تغییرات خطی با شاخص محیطی دارای نوساناتی بوده است. دشتکی و همکاران (۵) به علت معنی‌دار نبودن محدود انتحرافات از خط رگرسیون ( $S^2_{di}$ ) برای اکثر ژنتیپ‌ها و قرار گرفتن کلیه ژنتیپ‌ها حول محور  $b_1=0$ ، از این پارامتر نتوانستند برای گزینش ژنتیپ‌های پایدار استفاده کنند.

### روش رگرسیونی

یکی از رایج‌ترین روش‌های تجزیه پایداری روش رگرسیونی است. تجزیه واریانس عملکرد دانه ژنتیپ‌ها بر اساس ابرهارت و راسل (۷) انجام و مشاهده شد که منابع تغییر ژنتیپ و محیط معنی‌دار بودند. معنی‌دار شدن واریانس محیط خطی حاکی از آن است که تغییرات عملکرد محیط‌ها از روند خطی قابل توجهی برخوردار می‌باشدند. اثر متقابل ژنتیپ × محیط خطی معنی‌دار نشده که نشان‌دهنده عدم تفاوت معنی‌دار شبی خط رگرسیون ژنتیپ‌ها با یکدیگر است (جدول ۴). از بین ۱۷ ژنتیپ مورد بررسی، ضرایب رگرسیون لاین MBS87-15 و رقم والفجر اختلاف معنی‌دار در سطح احتمال پنج درصد با یک داشتند و کوچکتر از یک بودند. به طور کلی پنج ژنتیپ‌هایی که دارای شبی کمتر از یک هستند حساسیت ژنتیپ‌هایی که دارای شبی کمتر از یک هستند به تغییرات محیطی دارند؛ یعنی این ژنتیپ‌ها به محیط‌های دارای عملکرد پایین، سازگاری خصوصی دارند. ضرایب رگرسیون سایر ژنتیپ‌ها اختلاف معنی‌داری با یک نداشتند که بیانگر سازگاری عمومی در این لاین‌هاست. مزیت استفاده از  $b_1$  (ضریب رگرسیون) آن است که قادر واحد

جدول ۴- تجزیه پایداری عملکرد دانه ژنوتیپ‌های جو با استفاده از روش Eberhart & Russell

Table 4. Yield stability analysis of barley genotypes using Eberhart & Russell method

میانگین مرباعات	مجموع مجذورات	درجه آزادی	منابع تغییرات
-	۱۱۰/۴۵	۶۷	کل
۱/۲۰۹۸*	۱۹/۳۵۸	۱۶	واریته
۱/۷۶۱**	۹۱/۰۸۹	۵۱	محیط+واریته×محیط
۶۱/۵۱**	۶۱/۵۱	۱	محیط(خطی)
۰/۴۶۷ns	۷/۴۷	۱۶	واریته×محیط خطی
۰/۸۵	۲۲/۱۰۹۱	۳۴	انحراف کل
۰/۳۱۱*	۰/۸۲۲	۲	انحراف ریحان
۰/۳۶۵*	۰/۷۲۹	۲	انحراف ریحان ۳۰
۰/۷۹۴**	۱/۵۸۸	۲	انحراف افضل
۰/۰۷۳ns	۰/۱۴۴	۲	انحراف فجر
۰/۳۷۸*	۰/۷۵۵	۲	انحراف کویر
۰/۰۸۱۲ns	۰/۱۶۳	۲	انحراف MBS82-4
۱/۳۱۵**	۰/۸۳۰	۲	انحراف MBS82-5
۰/۵۳۹**	۱/۰۷۷	۲	انحراف MBS87-12
۰/۰۵۶ns	۰/۱۱۲	۲	انحراف MBS87-15
۰/۰۰۴۸ns	۰/۰۰۹۶	۲	انحراف MBS87-19
۰/۰۷۳ns	۰/۱۴۳	۲	انحراف والفجر
۰/۷۹۹**	۱/۵۹۸	۲	انحراف بهمن
۱/۷۷۸**	۳/۰۵۵	۲	انحراف یوسف
۱/۸۷۴**	۳/۷۴۸	۲	انحراف ماکویی
۰/۰۵۶ns	۰/۱۱۳	۲	انحراف نیک
۲/۲۱۸**	۴/۴۳۷	۲	انحراف نصرت
۰/۳۴۳*	۰/۶۸۶	۲	L527 انحراف
۰/۰۸۵۴	۱۰/۹۲۵	۱۲۸	اشتباه کل

جدول ۵- پارامترهای مختلف پایداری در ژنوتیپ‌های مختلف جو

Table 5. Stability parameters of different barley genotypes

$\gamma_i$	$r_i$	$S_e^2$	$b_i$	$R_i^2$	ژنوتیپ
۲/۵۹۵	-۰/۱۲۶	۰/۲۲۶	۰/۸۷۴ns	۰/۸۱۶	ریحان
۲/۹۷۵*	۰/۴۴۵	۰/۲۷۹	۱/۴۴۳ns	۰/۹۱۱	ریحان ۰۳
۰/۶۴۹**	-۰/۵۷۶	۰/۷۰۷	۰/۴۲۵۶۵ns	۰/۲۹	افضل
۰/۵۸۶	۰/۰۹۵	-۰/۰۱۳	۱/۰۹۴۵ns	۰/۹۶۸	فجر ۳۰
۳/۰۹۶**	۰/۳۱۹	۰/۲۹۲	۱/۳۱۸۵ns	۰/۸۹۳	کویر
۰/۷۰۰۹	-۰/۲۴۵	-۰/۰۰۴	۰/۷۵۵۶۹ns	۰/۹۲۷	MBS82-4
۱/۰۹۲۵**	-۰/۱۵۹	۱/۲۳	۰/۸۴۳ns	۰/۴۹۳	MBS82-5
۴/۴۶۷*	۰/۰۰۰۷۱	۰/۴۵۳	۱/۰۰۰۷۱ns	۰/۷۷۱	MBS87-12
۰/۵۲۶	-۰/۵۹	-۰/۱۲۹	۰/۴۵۲۲۱*	۰/۸۶۸	MBS87-15
۰/۰۱۷۴	۰/۲۰۵	-۰/۰۸۱	۱/۲۰۴*	۰/۹۹۸	MBS87-19
۰/۶۵۸	-۰/۰۵۸	-۰/۰۱۴	۰/۴۲۲*	۰/۸۱۸	والفجر
۶/۶۱۹**	۰/۰۶۴	۰/۷۱۳	۱/۰۶۴ns	۰/۷۱۹	بهمن
۱۴/۷۱۷**	۰/۲۳۷	۱/۹۹۲	۱/۲۳۶ns	۰/۶۰۸۷	یوسف
۱۵/۵۳۴*	۰/۰۷۴	۱/۷۸۸	۱/۰۷۴ns	۰/۵۲۷	ماکویی
۰/۴۹۴	-۰/۲۳۹	-۰/۰۲۹	۰/۷۶۳ns	۰/۹۴۹	نیک
۱۸/۳۳۹**	۰/۵۳۹	۲/۱۳۳	۱/۵۳۸ns	۰/۶۵۸	نصرت
۲/۷۸۹	۰/۴۳۹	۰/۲۵۷	۱/۴۹۱ns	۰/۹۲۱	L527

اندازه‌گیری شوند. براساس پارامترهای  $\alpha_i$  و  $\lambda_i$  ارقام ریحان، فجر ۳۰، والفجر، نیک و لاینهای MBS82-4، MBS87-15، L-527 MBS87-19 از بین ارقام و لاینهای مذکور ارقام فجر ۳۰ و ریحان به ترتیب با کمترین میزان پارامتر  $\lambda$ ، ارقام با سازگاری عمومی مطلوب شناسایی شدند.

سروش و ربیعی (۲۹) با روش ابرهارت و راسل ژنوتیپ شماره ۷۹۰۶ برنج را به عنوان پرمحصول ترین و پایدارترین لاین برای مناطق مختلف گیلان معرفی کردند. تای (۱۹۷۱) دو پارامتر پایداری  $\alpha_i$  و  $\lambda_i$  که خیلی شبیه به ضریب رگرسیون و انحراف از رگرسیون بودند را ارائه کرد بدین دلیل که وی معتقد بود آثار محیطی نمی‌توانند بدون خطا

واریانس پایداری، پایداری ارقام بر اساس روش شوکلا مورد ارزیابی قرار گرفت به طوری که کمترین میزان واریانس بین محیط‌ها بیانگر پایدار بودن آن ژنتیپ می‌باشد. در روش واریانس پایداری شوکلا، پایدار بودن یک ژنتیپ، بیانگر بالا بودن عملکرد آن نمی‌باشد. لذا در روش گزینش همزمان برای عملکرد و پایداری، آماره پایداری شوکلا به عنوان بخشی از کل مورد استفاده قرار گرفته است. در ستون بعدی یعنی ستون مربوط به نمرات پایداری، طبق روش کانگ (۱۳) اعداد ۸-۹ و صفر به ترتیب بیانگر معنی دار بودن واریانس محیطی ژنتیپ در سطح ۹۹ درصد و غیرمعنی دار بودن آن می‌باشد. بر طبق این آزمون ارقام ریحان، فجر، نیک و لاین‌های امیدبخش MBS87-12، MBS87-15، MBS87-19 و MBS82-5 پایدارترین ژنتیپ‌ها بودند.

**روش گزینش همزمان برای عملکرد و پایداری**  
اخيراً توجه بيشتر محققين به تلفيق پایداری با عملکرد جهت گزینش ژنتیپ‌های پایدار پرعملکرد مطوف شده است. در اين راستا تعدادي روش گزینش همزمان پیشنهاد شده که كاربردي ترين آن‌ها مربوط به کانگ (۱۳، ۱۶) به صورت آماره كاربردي عملکرد-پایداری (ysi) می‌باشد. مراحل و نتيجه محاسبه آماره عملکرد-پایداری (ysi) کانگ (۱۳) و گزینش همزمان برای عملکرد دانه و پایداری در جدول ۶ درج شده است. ستون مربوط به رتبه تصحيح شده عملکرد اين جدول، از جمع جبری رتبه عملکرد و میزان تصحيح نسبت به رتبه هر ژنتیپ حاصل شده است. با اين رتبه‌بندی عملکرد تا اين مرحله، لاین ۵- MBS82-4 بيشترین عملکرد و لاین ۱۵ کمترین عملکرد دانه را دارا بودند. در ستون مربوط به

جدول ۶- محاسبه نمرات پایداری و عملکرد

Table 6. Calculation of stability and yield scores

ysi	نمرات پایداری	واریانس پایداری	عملکرد	رتبه تصحيح شده	تصحیح رتبه عملکرد	رتبه	میانگین عملکرد	ژنتیپ
۱۵	.	.۰/۱۸۵	۱۵	۱	۱۴	۴/۹۸۶		ريحان
۱	-۲	.۰/۴۳۹	۳	-۱	۴	۴/۸۸۳		ريحان ۰۳
-۴	-۴	.۰/۸۶۴	۰	-۲	۲	۴/۱۱۱		افضل
۱۹	.	.۰/۰۱۷۷	۱۹	۳	۱۶	۵/۶۹۱		فجر ۳۰
۷	.	.۰/۳۳۳	۷	-۱	۸	۴/۷۲۵		كوير
۵	.	.۰/۰۸۵	۵	-۱	۶	۴/۶۳۵		MBS82-4
۱۷	-۴	.۰/۰۸۶	۲۱	۴	۱۷	۶/۲۹۸		MBS82-5
۱۷	.	.۰/۰۳۱۸	۱۷	۲	۱۵	۵/۳۰۵		MBS87-12
-۲	.	.۰/۰۳۵۸	-۲	-۳	۱	۳/۹۰۶		MBS87-15
۶	.	.۰/۰۱۲	۶	-۱	۷	۴/۶۵۹		MBS87-19
۱۲	-۲	.۰/۰۴۰۹	۱۲	-۱	۱۳	۴/۹۳۹		والفجر
۲	-۲	.۰/۰۴۹۶	۴	-۱	۵	۴/۶۲۰		بهمن
۳	-۸	۱/۲۱۱	۱۱	-۱	۱۲	۴/۷۹۹		يوسف
.	-۸	۱/۲۱۵	۸	-۱	۹	۴/۷۹۵		ماكوبى
۹	.	.۰/۰۶۵	۹	-۱	۱۰	۴/۷۶۸		نيك
۲	-۸	.۰/۰۷۸۶	۱۰	-۱	۱۱	۴/۷۷۵		نصرت
.	-۲	.۰/۰۴۷۸	۲	-۱	۳	۴/۴۹۷		LSD5%
۶/۴۱۲						۴/۸۲۶		ميانگين
						۰/۰۴۹		LSD5%

**روش AMMI**  
**تجزیه اثرات اصلی افزایشی و ضرب پذیر برای عملکرد دانه**  
نتایج تجزیه واریانس AMMI برای آثار اصلی افزایشی و ضرب پذیر در جدول ۷ آمده است. تجزیه واریانس آثار افزایشی نشان داد که تفاوت معنی داری بین ژنتیپ‌ها، محیط‌ها و اثر متقابل ژنتیپ × محیط در سطح احتمال یک درصد وجود داشت. در این مدل بزرگی آثار اصلی افزایشی برای ژنتیپ، محیط و اثر متقابل ژنتیپ × محیط به ترتیب ۱۷/۵۳ درصد، ۵۵/۶۷ درصد و ۲۶/۷۹ درصد مجموع مربعات کل بود (جدول ۷). بزرگی آثار محیط بیانگر متفاوت بودن

نهایتاً در ستون ysi با جمع جبری اعداد ستون نمرات پایداری و رتبه تصحیح شده عملکرد، آماره پایداری و عملکرد (ysi) برای هر ژنتیپ مشخص شد. با این روش به ترتیب ارقام فجر ۳۰، MBS82-5، MBS87-12، MBS82-4، ریحان، والفجر و نیک گزینش شدند. روش گزینش همزمان برای عملکرد دانه و پایداری کانگ (۱۳)، به نوعی روش شوکلا را نیز تحت پوشش قرار می‌دهد زیرا واریانس پایداری مورد استفاده در روش کانگ همان واریانس شوکلا است که در روش کانگ با عملکرد توأم درنظر گرفته می‌شود. محفوظی و همکاران (۲۰) با استفاده از معیار ysi، ۱۰ لاین پر محصول و پایدار گندم را در شرایط تنفس خشکی انتهای فصل، گزینش کردند.

زنوتیپ × محیط را توجیه می‌نمایند. این دو مؤلفه از لحاظ آماری در توجیه آثار متقابل معنی دار بودند. بنابراین مدل دوم AMMI2 (AMMI) که شامل دو مؤلفه اول اثر متقابل و اثرات اصلی افزایشی زنوتیپ × محیط می‌باشد، می‌تواند مورد استفاده قرار گیرد. به عبارت دیگر استفاده از مدل دوم AMMI (AMMI2) به خوبی در تفسیر نتایج مفید می‌باشد.

محیط‌ها بوده که باعث ایجاد تنوع در عملکرد دانه زنوتیپ‌ها شده است. نتایج آزمون معنی داری مؤلفه‌های اثر متقابل نیز نشان داد که دو مؤلفه اول اثر متقابل مدل در سطح AMMI احتمال یک درصد معنی دار می‌باشد. نتایج تجزیه واریانس غیرافزایشی نشان داد که اولین مؤلفه اثر متقابل ۷۵/۱۱ درصد و دومین مؤلفه اثر متقابل ۱۶/۸۹ درصد از تغییرات اثر متقابل

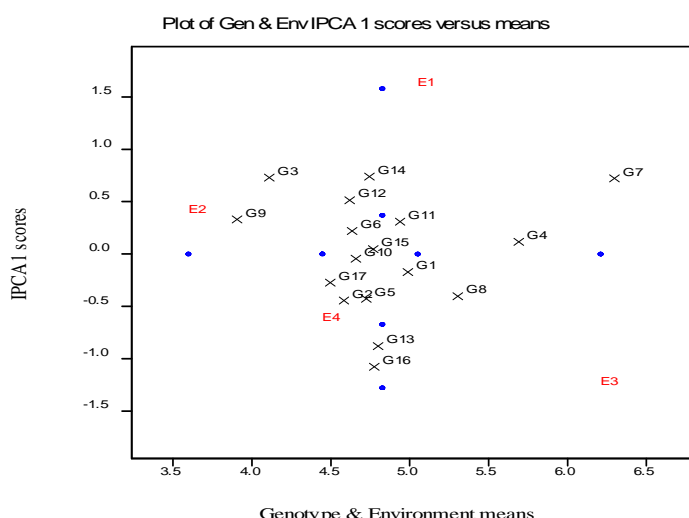
جدول ۷- تجزیه واریانس اثرات اصلی افزایشی و ضرب‌پذیر برای عملکرد دانه زنوتیپ‌های جو

Table 7. Analysis of variance of additive main effects and multiplicative interactions for barley genotypes

منبع تغییرات	درجه آزادی	میانگین مریعات	درصد واریانس توجیه شده
کل	۲۰۳	۱/۸۰۳	-
تیمار	۶۷	۴/۹۴۶**	۹۰/۵۷
زنوتیپ	۱۶	۳/۶۳**	۱۷/۵
محیط	۳	۶۱/۵۱۱**	۵۵/۶۷
محیط × زنوتیپ	۴۸	۱/۸۴۹**	۲۶/۷۹
IPCA1	۱۸	۳/۷۰.۷**	۷۵/۱۱
IPCA2	۱۶	۰.۹۳۶**	۱۶/۸۹
باقی مانده	۱۴	۰/۵۰.۴ns	۷/۹۹
بلوک (a)	۸	۰/۲۲۵ns	۰/۴۹
خطا	۱۲۸	۰/۲۵۶	۸/۹۶

نشان می‌دهد که ارقام یوسف، نصرت، ماقویی و افضل و همچنین محیط‌های غیر شور در هر دو سال زراعی دارای آثار متقابل بزرگ بوده و بیشترین تأثیر را در ایجاد اثر متقابل دارند. زنوتیپ‌هایی که در مرکز بای‌پلات قرار گرفته‌اند، اثر متقابل نزدیک به صفر دارند و دارای پایداری عمومی بیشتری هستند. ارقام نیک، ریحان، فجر ۳۰، ۳۰-۱۹ و MBS87-4-4 MBS82-4 اثر متقابل کم بودند، ولی رقم فجر ۳۰ به علت داشتن میانگین عملکرد بالاتر از میانگین کل می‌تواند به عنوان زنوتیپ با پایداری مطلوب مورد توجه قرار گیرد.

به منظور بررسی روابط زنوتیپ‌ها و محیط‌ها از نمایش گرافیکی بای‌پلات استفاده شد. در بای‌پلات شکل ۱ محور افقی نمایانگر آثار اصلی جمع‌پذیر یا میانگین عملکرد دانه بر حسب تن در هکتار و محور عمودی آثار متقابل ضربی یا مقادیر اولین مؤلفه اصلی (IPCA1) یعنی ضرایب عاملی، برای زنوتیپ‌ها و محورها نمایش داده شده‌اند. اولین جفت مربوط به میانگین عملکرد هر رقم (محور افقی) و مقادیر اولین مؤلفه اصلی هر زنوتیپ (محور عمودی) و دومین جفت مربوط به میانگین عملکرد هر محیط (محور افقی) و مقادیر اولین مؤلفه اصلی هر محیط (محور عمودی) می‌باشد. بررسی بای‌پلات شکل ۱



شکل ۱- بای‌پلات میانگین عملکرد زنوتیپ‌ها و محیط‌ها و اولین مؤلفه اثر متقابل در مدل AMMI2 برای ۱۷ زنوتیپ و ۴ محیط

Figure 1. Biplot of mean of genotypes, environments and the first its principal component for 17 genotypes and 4 environments

لاین‌های ۱۹ MBS87-4 و MBS82-4 پایدارترین ژنتیپ‌ها بودند و به ترتیب با  $0/۵۹۶$ ,  $0/۱۰۷$ ,  $0/۵۴$  و  $0/۲۸$  درصد کمترین نقش را در اثر متقابل داشتند. در صورتی که ارقام نصرت، ماقویی و یوسف به ترتیب با  $1/۸/۵۳$ ,  $1/۲/۷۴$ ,  $1/۲/۷$  درصد بیشترین نقش را در اثر متقابل دارا بودند (جدول ۸).

#### تجزیه پایداری محیط‌ها

محمدی و همکاران (۲۱) به منظور تجزیه بهتر آثار متقابل ژنتیپ‌محیط از پارامترهای پایداری برای محیط‌ها استفاده کردند. مقادیر این پارامترها و رتبه‌بندی محیط‌ها بر اساس این پارامترها در جدول ۹ آمده است. جهت گزینش محیط‌های مناسب با قدرت بالا در تفکیک ژنتیپ‌ها، محیط‌ها باستی دارای مقادیر IPCA1 بالا و IPCA2 پایین باشند. براساس این دو پارامتر، یان و همکاران (۳۵) درگذم و یان و راجکان (۳۶) در سویا، ژنتیپ‌های پایدار به محیط‌ها و نیز محیط‌های با قدرت تفکیک ژنتیپی بالا از سایر محیط‌ها را شناسایی کردند.

#### تجزیه پایداری ژنتیپ‌ها

مقادیر پارامترهای ژنتیپی و رتبه‌بندی ژنتیپ‌ها بر اساس این پارامترها در جدول ۸ آمده است. محمدی و همکاران (۲۱) از ضرایب مؤلفه‌های اصلی اثر متقابل (IPCA) جهت گزینش ژنتیپ‌های پایدار استفاده کردند. در تحقیق حاضر، کمترین مقادیر IPCA1 مربوط به ارقام و لاین‌های نیک، -MBS87-19، فجر ۳۰ و ریحان و کمترین مقادیر IPCA2 مربوط به ارقام، کویر، -MBS82-12، فجر ۳۰ و ریحان بود. بر اساس مقادیر IPCA1 و IPCA2 با رقم فجر ۳۰ با میزان عملکرد مطلوب و بالا، جزو پایدارترین ژنتیپ‌ها بود. رقم ماقویی با مقدار IPCA2 بالا و بالاترین میزان IPCA2 جزو ناپایدارترین ژنتیپ‌ها بود. آماره پایداری AMMI نیز نشان داد که لاین ۱۹ MBS87-۱۹ و ارقام فجر ۳۰، نیک و ریحان با کمترین مقدار ASV پایدارترین ژنتیپ‌ها بودند. بر اساس پارامتر پایداری اکووالنس ریک، ارقام فجر ۳۰، نیک و

جدول ۸- میانگین عملکرد ژنتیپ‌ها، ضرایب مؤلفه‌های اثر متقابل و آماره‌های امی و اکووالنس ریک  
Table 8. Mean of genotypes yield, coefficients of interaction principle, AMMI and Wricke covariance statistics

% Wi <sup>2</sup>	رتبه	Wi <sup>2</sup>	رتبه	ASVi	رتبه	IPCA2	رتبه	IPCA1	رتبه	میانگین عملکرد	ژنتیپ
۲/۳	۵	۰/۶۷۹	۴	-۰/۳۹۷	۴	-۰/۱۷	۳	-۰/۱۷	۴	۴/۹۸۹	ریحان
۴/۸۷	۱۰	۱/۴۴	۱۱	-۰/۹۵۸	۷	-۰/۲۴	۱۰	-۰/۴۴	۱۴	۴/۵۸۳	ریحان ۰۳
۹/۴	۱۴	۲/۷۸	۱۴	۱/۵۷۴	۸	-۰/۳۳	۱۳	-۰/۷۳	۱۶	۴/۱۱۱	افضل
۰/۵۹۶	۲	-۰/۱۷۶	۲	-۰/۳۰۵	۴	-۰/۱۷	۲	-۰/۱۲	۲	۵/۶۹۰	فجر ۳۰
۳/۷۹	۷	۱/۱۲	۹	-۰/۹۱۲	۲	-۰/۰۹۸	۹	-۰/۰۴۳	۱۰	۴/۷۲۵	کویر
۱/۲۸	۴	-۰/۳۷۸	۵	-۰/۵۲۲	۷	-۰/۰۲۴	۴	-۰/۰۲۲	۱۲	۴/۶۳۵	MBS82-4
۹/۲	۱۳	۲/۲۲	۱۳	۱/۵۲۷	۳	-۰/۱۶	۱۲	-۰/۰۷۲	۱	۶/۲۹۸	MBS82-5
۳/۶۴	۶	۱/۰۷	۸	-۰/۱۶۰	۴	-۰/۰۱۷	۸	-۰/۰۹۰	۳	۵/۳۰۵	MBS87-12
۴/۰۵	۸	۱/۱۹	۷	-۰/۸۵۸	۱۱	-۰/۰۵۳	۷	-۰/۰۳۳	۱۷	۳/۹۰۵	MBS87-15
-۰/۵۴	۱	-۰/۱۶	۱	-۰/۲۵۳	۶	-۰/۰۲۳	۱	-۰/۰۰۵	۱۱	۴/۶۵۹	MBS87-19
۴/۵۷	۹	۱/۳۵	۱۰	-۰/۹۱۵	۱۳	-۰/۰۶۴	۶	-۰/۰۳۱	۵	۴/۹۳۹	والجبر
۵/۴۵	۱۲	۱/۶۱	۱۲	۱/۱۴۱	۱۰	-۰/۰۳۸	۱۱	-۰/۰۵۱	۱۳	۴/۶۱۹	بهمن
۱۲/۷	۱۵	۳/۷۶	۱۶	۱/۸۶۸	۵	-۰/۰۲۱	۱۴	-۰/۰۱۸	۶	۴/۷۹۹	یوسف
۱۲/۷۴	۱۶	۳/۷۷	۱۵	۱/۶۷۵	۱۴	-۰/۰۶۶	۱۳	-۰/۰۷۳	۹	۴/۷۴۴	ماکویی
۱/۰۷	۳	-۰/۳۱۷	۳	-۰/۳۵۶	۹	-۰/۰۳۴	۱	-۰/۰۰۵	۸	۴/۷۶۸	نیک
۱۸/۵۳	۱۷	۵/۴۸	۱۷	۲/۲۷۹	۱	-۰/۰۷۷	۱۵	-۰/۰۱۰	۷	۴/۷۷۵	نصرت
۵/۲۷	۱۱	۱/۵۵۷	۶	-۰/۸۴۹	۱۲	-۰/۰۶۳	۵	-۰/۰۲۷	۱۵	۴/۴۹۶	L527

در فصل زراعی ۹۳-۹۴ و محیط شور در بیشترین پایداری و کمترین نقش در پدیده اثر متقابل دارا بودند. براساس پارامتر اکووالنس ریک محیط‌های غیرشور طی دو سال زراعی به ترتیب با  $۴۲/۸۳$  و  $۳۲/۵۲$  بیشترین نقش و محیط‌های شور طی دو سال زراعی به ترتیب  $۹/۸۵$  و  $۱۴/۸$  درصد کمترین نقش را در ایجاد اثر متقابل داشتند (جدول ۹).

کمترین IPCA2 محیطی مربوط به محیط غیرشور در سال زراعی ۹۳-۹۴ و بیشترین آن به محیط بدون تنش سال ۹۳-۹۴ تعلق داشت. محیط ایده‌آل بر اساس IPCA1 بیشتر و IPCA2 کمتر عبارت بود از محیط بدون تنش سال زراعی ۹۳-۹۴ (با مقدار مثبت ۱۳۹۲-۹۳ (با مقدار مثبت IPCA1) بر اساس آماره پایداری محیطی ASV، محیط شور طی سال زراعی

جدول ۹- میانگین عملکرد محیط‌ها، ضرایب مؤلفه‌های اثر متقابل و آماره‌های امی و اکووالنس ریک  
Table 9. Mean of environments yield, coefficients of interaction principle, AMMI and Wricke covariance statistics

% Wi <sup>2</sup>	رتبه	Wi <sup>2</sup>	رتبه	ASVi	رتبه	IPCA2	رتبه	IPCA1	رتبه	میانگین عملکرد	محیط
۴۲/۸۳	۴	۱۲/۶۷۱	۴	۳/۳۷۹	۱	-۰/۰۵۶	۴	۱/۰۵۸	۲	۵/۰۵۱	غیرشور
۹/۸۵	۱	۲/۹۱۳	۱	۱/۰۴۵	۲	-۰/۰۶۹۷	۱	-۰/۰۳۶۹	۴	۳/۵۹۷	شور
۳۲/۵۲	۳	۹/۶۱۹	۳	۲/۸۴۷	۴	-۰/۰۹۰۷	۳	-۰/۱۲۸	۱	۶/۲۱۰	غیرشور
۱۴/۸	۲	۴/۳۷۸	۲	۱/۶۱۲	۳	-۰/۰۷۷	۲	-۰/۰۶۷	۳	۴/۴۴۶	شور

MBS82-5 و فجر ۳۰ بیشترین سازگاری را به شرایط غیرشور در هر دو سال زراعی داشتند. برای محیط شور ژنوتیپ‌های فجر ۳۰ و ۱۲ MBS87-12 در هر دو سال زراعی بهترین ژنوتیپ‌ها با سازگاری ویژه بودند. بر اساس نتایج فوق در مجموع سال‌ها و محیط‌ها، رقم فجر ۳۰ قدرت پایداری و سازگاری عمومی بالایی به محیط‌های مورد مطالعه داشت.

### توصیه ژنوتیپ‌ها برای محیط‌ها

تفاوت در رتبه ژنوتیپ‌ها در محیط‌ها نشان‌دهنده اثر متقابل ژنوتیپ×محیط می‌باشد، به طوری که این اثر متقابل با معنی دار شدن آن از لحاظ آماری در سطح احتمال یک درصد قابل توجه می‌باشد (جدول ۷). در جدول ۱۰، چهار ژنوتیپ توصیه شده بر اساس مدل AMMI برای هر محیط نشان داده شده است. بر اساس نتایج حاصل، ژنوتیپ‌های

جدول ۱۰- گروه‌بندی محیط‌ها بر اساس چهار ژنوتیپ توصیه شده در مدل امی

Table 10. Grouping environment based on four genotypes recommended in AMMI model

عملکرد	چهار ژنوتیپ توصیه شده برای هر محیط							فصل زراعی	محیط
	G4	عملکرد	G3	عملکرد	G2	عملکرد	G1		
۵/۹۳۳	۱۲	۶/۲۵۶	۱۴	۷/۸۷۸	۱۴	۷/۸۷۸	۷	۵/۰۵۱	۹۲-۹۳ غیر شور
۴/۳۹۴	۸	۴/۲۴۰	۴	۴/۹۰۸	۴	۴/۹۰۸	۷	۳/۵۹۷	۹۲-۹۳ شور
۷/۰۴	۴	۷/۱۲۱	۷	۷/۱۴۲	۷	۷/۱۴۲	۸	۶/۹۴	۹۳-۹۴ غیر شور
۵/۰۲۷	۸	۵/۲۳۵	۱۳	۵/۰۸۰	۱۳	۵/۰۸	۱۶	۴/۴۴۶	۹۳-۹۴ شور

سال زراعی بهترین ژنوتیپ‌ها با سازگاری ویژه بودند. بر اساس نتایج بدست آمدۀ از تمام روش‌ها در مجموع سال‌ها و محیط‌های آزمایش، رقم فجر ۳۰ قدرت پایداری و سازگاری عمومی بالایی به محیط‌های مورد مطالعه داشت.

در بین روش‌های تجزیه پایداری استفاده شده در این پژوهش، روش چند متغیره AMMI قادر به تفکیک محیط‌های آزمایش بود. همچنین این روش به راحتی ژنوتیپ‌های سازگار به هر محیط را شناسایی نمود. برای محیط شور ژنوتیپ‌های فجر ۳۰ و ۱۲ در هر دو MBS87-12

### منابع

- Albert, M.J.A. 2004. A comparison of statistical methods to describe genotype × environment interaction and yield stability in multi- location maize trials. MSc. Thesis. Department of Plant Sci. The University of the Free State, Bloemfontein, 100 pp.
- Annicchiarico, P. 1997. Joint regression vs AMMI analysis of genotype-environment interactions for cereals in Italy. *Euphytica*, 94: 53-62.
- Badoorie Delfard, A., K. Mostafavi and A. Mohammadi. 2016. Genotype-Environment interaction and yield stability of winter barley varieties. *Journal of Crop Breeding*, 8(20): 99-106.
- Basford, K.E. and M. Cooper. 1998. Genotype by environment interaction and some considerations of their implication for wheat breeding in Australia. *Australian Journal of Agriculture Research*, 49: 154-175.
- Dashtaki, M., A. YazdanSepas, T. NajafiMirak, M.R. Ghanadha, R. Joukar, M.R. Islampour, A.A. Moayedi, M. Nazeri, M.S. AbediOscooie, G. Aminzadeh, R. Soltani, S. Ashouri and A.R. Kouchaki. 2004. Stability of grain yield and harvest index in winter and facultative bread wheat (*triticum aestivum* L.) Genotypes. *Seed and Plant Improvement Journal*, 20(3): 263-280 (In Persian).
- Ebdon, J.S. and H.G. Gauch. 2002. Additive main effect and multiplicative interaction analysis of national turf grass performance trials: I Interpretation of Genotype × environment interaction. *Crop Science*, 42: 489-496.
- Eberhart, S.A. and W.A. Russell. 1996. Stability parameters for comparing varieties. *Crop Science*, 6: 36-40.
- Eskridge, K.M. 1990. Selection of stable cultivars using a safety-first rule. *Crop Science*, 30: 369-374.
- Finlay, K.W. and G.N. Wilkinson. 1963. The analysis of adaptation in a plant breeding program. *Australian Journal of Agricultural Research*, 14: 742-754.
- Gauch, H.G. and R.W. Zobel. 1996. AMMI analysis of yield trials. In: Kang, M.S. and H.G. Jr. Gauch (eds), *Genotype- by- environment interaction*. CRC Press, Boca Raton, Florida, 85-122.
- Huhn, M. 1996. Nonparametric analysis of genotype × environment interaction by ranks. In: Kang, M. S. and H. G. Jr. Gauch (eds), *Genotype- by- environment interaction*. (pp.). CRC Press, Boca Raton. Florida, 235-271.
- Iski, K. and J. Kleinschmit. 2005. Similarities and effectiveness of test environments in selecting and deploying desirable genotypes. *Theoretical and Applied Genetics*, 110: 311-322.
- Kang, M.S. 1993. Simultaneous selection for yield and stability in crop performance trials: Consequences for growers. *Agronomy Journal*, 85: 754-757.
- Kang, M.S. and D.P. Gorman 1989. Genotype× environment interaction in maize. *Agronomy Journal*, 81: 662-664.
- Kang, M.S. and R. Magari. 1996. New developments in selecting for phenotypic stability in crop breeding. In: M.S. Kang and H. G. Zobel (eds), *Genotype- by- Environment interaction*, 1-14. CRC Press, Boca Raton, 11-14.

16. Kang, M.S., D.P. Gorman and H.N. Pham. 1991. Application of a stability statistic to international maize yield trials. *Theoretical and Applied Genetics*, 81: 162-165.
17. Kang, M.S. 1998. Using genotype  $\times$  environment interaction for crop cultivar development. *Advances in Agronomy*, 62: 199-252.
18. Katerji, N., J.W. Van Hoon, A. Hamdy and M. Mastorilli. 2003. Salinity effect on crop development and yield, analysis of salt tolerance according to several classification methods. *Agriculture Water Management*, 62: 37-66.
19. Lin, C.S., M.R. Binns and L.P. Lefkovitch. 1986. Stability analysis: Where do we stand? *Crop Science*, 26: 894-900.
20. Mahfoozi, S., A. Amini, M. Chaichi, S. Jasem, M. Nazeri, M.S. AbediOskooie, G. Aminzadeh and M. Rezaie. 2009. Study on grain yield stability and adaptability of winter wheat genotypes using different stability indices under terminal drought stress conditions. *Seed and Plant Improvement Journal*, 25(1): 65-82 (In Persian).
21. Mohammadi, R., S.S. Pourdad and A. Amri. 2008. Grain yield stability of spring safflower (*Carthamus tinctorius* L.). *Australian Journal of Agricultural Research*, 59: 546-553.
22. Munns, R., R.A. James and A. Lauchli. 2006. Approaches to increasing the salt tolerance of wheat and other cereals. *Journal of Experimental Botany*, 57: 1025-1043.
23. Pinthus, M.J. 1973. Estimate of genotype value: A personal method. *Euphytica*, 22: 121-123.
24. Purchase, J. 1997. Parametric analysis to describe Genotype  $\times$  environment interaction and yield stability in winter wheat. Ph.D. Thesis. University of the Free State, South Africa, 84 pp.
25. Schoeman, L.J. 2003. Genotype  $\times$  environment interaction in sunflower (*Helianthus annuus*) in South Africa. MSc. Thesis, Department of Agronomy, University of the Free State, Bloemfontein, 84 pp.
26. Shafi, B., K.A. Mahler, W.J. Price and D.L. Auld. 1992. Genotype  $\times$  environment interaction effects on winter rapeseed yield and oil content. *Rap Science*, 32: 922-927.
27. Shah Mohammai, M., H. Dehghani and M. Yousefi. 2005. Stability analysis of barley genotypes for cold zones in Iran. *Agricultural and Natural Resources Sciences and Technology*, 9(1): 143-154 (In Persian).
28. Shukla, G.K. 1972. Some statistical aspects of partitioning genotype environmental components of variability. *Heredity*, 29: 237-245.
29. Soroush, H.R. and B. Rabiei. 2009. Evaluation of yield stability of rice genotypes in different locations of Guilan province. *Journal of Agricultural Science*, 18(4): 106-114 (In Persian).
30. Suadric, A., D. Simic and M. Vratic. 2006. Characterization of genotype by environment interactions in soybean breeding programs of South-East Europe. *Plant Breeding*, 125: 125-191.
31. Tai, G.C.C. 1971. Genotypic stability analysis and its application to potato regional trails. *Crop Science*, 19: 434-438.
32. Wricke, G. 1962. Ueber eine methods zur erfassung der ökologischen streubreite in feldversuchen. *Pflanzenzuecht*, 47: 92-96.
33. Yan, W. 2001. GGEbiplot- a Windows application for graphical analysis of multi-environment trial data and other types of two- way data. *Agronomy Journal*, 93(5): 1111-1118.
34. Yan, W. and I. Rajcan. 2002. Biplot analysis of test sites and trait relations of soybean in Ontario. *Crop Science*, 42: 11-20.
35. Yan, W., L.A. Hunt, Q. Sheng and Z. Szlavnics. 2000. Cultivar evaluation and mega- environment investigation based on the GGE biplot. *Crop Science*, 40: 597-605.

## Stability Analysis and Selection of Salinity Tolerant barley Genotypes

**Majid Taherian<sup>1</sup>, Mohammad Reza Bihamta<sup>2</sup>, Seyyed Ali Peyghambari<sup>3</sup>,  
Hooshang Alizadeh<sup>4</sup> and Abdolrahman Rasoulnia<sup>5</sup>**

1- Assistant Professor, Crop Science Research Center, Agricultural Research and Education Center, Khorasan Razavi Province, Agricultural Research and Education Organization, (Corresponding author: Taherian.m@ut.ac.ir)

2, 3, 4 and 5- Respectively, Professor of Genetics and Plant Breeding, Professor of Plant Breeding and Assistant Professor of Biotechnology, Agricultural and Natural Resources Campus, University of Tehran, Karaj

Received: June 1, 2017

Accepted: June 11, 2018

### Abstract

The objectives of this study were to analyze genotype by environment (GE) interactions effects on the yield of barley lines and varieties, identifying salinity tolerant genotypes with stable yield and also evaluating genotype (G), environments (E) and GE interactions using different stability parameters. The research was set up as two Randomized Complete Block design with three replications at the agriculture research station of Neishabur, Khorasan razavi, during 2013-2015. Each experiment included 17 barley varieties and promising lines. According to Eberhart and Russell stability parameters, genotypes Fajre30, Nik and MBS82-4 had general adaptation. Genotypes Fajre30, Nik, Rihan, Valfajr, MBS82-5 and Mbs87-12 were selected by Simultaneous selection for yield and yield stability (YSi) method. The results of AMMI analysis for seed yield indicated that the Genotype (G) main effects, environment (E), and GE interactions as well as two first interaction principal components (IPCA1-2) were significant. AMMI biplot was able to distinguish stable genotypes and environments with high discrimination ability from low ones. According to the AMMI analysis, genotypes MBS87-12 and Fajre30, with seed yield higher than grand mean, were the most stable genotypes and with high specific adaptation to the saline environment.

**Keywords:** Adaptability, Barley, Genotype×environment interaction, Yield